

پایش ترک خوردن ناشی از خوردگی و تنش (SCC) در نمونه‌های آلیاژی فولاد زنگ نزن ۳۰۴ و برنج به روش نوسان‌های الکتروشیمیایی

محسن صارمی (دانشیار)
اکرم نوری‌دلور (کارشناس ارشد)
دانشکده‌ی فنی - گروه مهندسی متالورژی و مواد، دانشگاه تهران

در این پژوهش، نوسان‌های الکتروشیمیایی^۱ جریان و پتانسیل نمونه‌های آلیاژی فولاد زنگ نزن ۳۰۴ حساس شده در محلول اسیدی ۲۵٪ کلراید منیزیم و همچنین برنج ۷۰-۳۰ در محلول ماتسون، طی پدیده‌ی ترک خوردگی ناشی از خوردگی و تنش^۲ (SCC) مورد بررسی قرار گرفته است. در مورد هر دو آلیاژ، پدیده‌ی شروع و رشد ترک بر اثر تغییرات آنی و همزمان در جریان و پتانسیل قابل مشاهده است. اما این تغییرات در نوسان‌های جریان مشخص‌تر است. مشخصه‌ی ایجاد ترک اولیه در نمونه‌ی فولاد زنگ نزن ۳۰۴ با تغییرات آنی در پتانسیل و جریان همراه است که به آرامی بازیابی می‌شود و رشد نهایی ترک بر اثر تغییرات شدید در جریان و پتانسیل مشاهده می‌شود. در نمونه‌ی برنجی نیز رشد ترک با تغییرات آنی جریان و پتانسیل همراه است که به طور کامل بازیابی نمی‌شود. داده‌های به دست آمده از جریان و پتانسیل در محدوده‌ی زمانی، به وسیله‌ی تابع تبدیل فوریه‌ی سریع به محدوده‌ی فرکانسی تبدیل شده و مورد بررسی قرار گرفته‌اند. در نهایت، مشخص شد که تغییرات جریان و پتانسیل، با شروع رشد ترک و در نهایت شکست قطعه ارتباط دارد، و این ارتباط می‌تواند مبنای پایش پدیده‌ی SCC در این آلیاژها باشد.

۱. مقدمه

برخوردار است که شاید بتوان از آن در زمینه‌ی پایش SCC استفاده کرد.

لوتو^۳ و کوتیس^۴ نوسان الکتروشیمیایی ایجاد شده در طول SCC برنج آلفا را در محلول ماتسون از طریق تجزیه و تحلیل با روش آنتروپی بیشینه بررسی کرده است.^[۱] آنها به این نتیجه رسیدند که انحراف معیار نتایج واضح‌تری را ارائه می‌دهند و ترک خوردن نمونه‌ها در اکثر موارد بیشترین دامنه‌های نوسانات و بزرگ‌ترین انحراف معیار را می‌دهد. لوت و کوتیس مطالعات مشابهی را در خصوص یک آلیاژ آلومینیوم در محلول کلراید سدیم ۳/۵٪^[۱] و فولاد کربنی با استحکام بالا در محلول کلراید سدیم ۳/۵٪، به همراه سولفید سدیم ۵۰٪ ppm^[۲] انجام داده و به نتایجی مشابه نتایج به دست آمده در مورد برنج آلفا دست پیدا کردند. آنها داده‌های مربوط به فولاد کربنی را با استفاده از روش‌های آنتروپی بیشینه و تبدیل فوریه آنالیز کردند، و در نهایت به این نتیجه رسیدند که جوانه‌زنی ترک و شکست نمونه بالاترین چگالی‌های طیف توانی را ارائه می‌دهند.

در این پژوهش، نوسانات الکتروشیمیایی تولید شده در طول پدیده‌ی SCC نمونه‌های برنجی در محلول ماتسون و همچنین نمونه‌های فولاد زنگ نزن ۳۰۴ با درجه‌ی حساسیت متوسط اندازه‌گیری شده و در محدوده‌ی زمانی مورد تجزیه و تحلیل قرار گرفته است. همچنین داده‌های به دست آمده در محدوده‌ی زمانی، با استفاده از روش تبدیل فوریه‌ی

ترک خوردن ناشی از خوردگی و تنش یکی از مشکلات بزرگ اکثر صنایع به شمار می‌رود به طوری که انهدام‌های زودرس زیادی در سیستم‌هایی که تحت تنش‌های کمتر از حد تسليیم‌شان هستند، رخ می‌دهد. علی‌رغم وجود روش‌های مختلف به منظور شناسایی و بررسی پدیده‌ی خوردگی، هنوز روش مناسبی برای پایش ترک خوردن ناشی از خوردگی و تنش (SCC) وجود ندارد. بنابراین استفاده از روشی که بتواند به پیش‌بینی شکست تجهیزات بر اثر پدیده‌ی SCC کمک کند، می‌تواند برای صنایع مختلف مفید واقع شود.

اصطلاح «نوسان الکتروشیمیایی» به نوسان‌های جریان و پتانسیل ایجاد شده بر روی سطح الکترود، طی یک فرایند الکتروشیمیایی اطلاق می‌شود. مطالعات متعدد انجام شده برروی نوسان‌های الکتروشیمیایی ایجاد شده در سیستم‌های خوردگی نشان داده است که انواع مختلف خوردگی از قبیل حفره‌دار شدن^[۳-۵] خوردگی خستگی^[۶]، خوردگی میکروبی^[۷]، SCC^[۸-۱۰] از مشخصه‌های نوسان‌های مربوط به خود برخوردارند، و بنابراین می‌توان از نوسان‌های الکتروشیمیایی به عنوان روشی برای پایش خوردگی استفاده کرد. مطالعات انجام شده برروی نوسان‌های الکتروشیمیایی ناشی از پدیده‌ی SCC در فلزات و آلیاژهای مختلف، نشان داده است که ایجاد ترک و مراحل مختلف رشد آن در اکثر فلزات و آلیاژها از نوسان‌هایی با مشخصه‌های معینی

جدول ۱. ترکیب شیمیایی آلیاژهای مورد آزمایش.

Mn	Si	C	Pb	Ni	Cr	Zn	Cu	Fe	مواد
-	-	-	۰,۰۷	-	-	۲۹,۸۸-۳۲,۸۸	۶۷-۷۰	۰,۰۵	برنج
۲	۱	۰,۰۸		۸-۱۰,۵	۱۸-۲۰	-	-	۷۲,۹	فولاد زنگ نزن ۳۰۴

و الکترود مرجع از جنس پلاتین اندازه‌گیری شده است. داده‌های به دست آمده، هر نیم ثانیه یک بار توسط ریانه ذخیره شده‌اند.

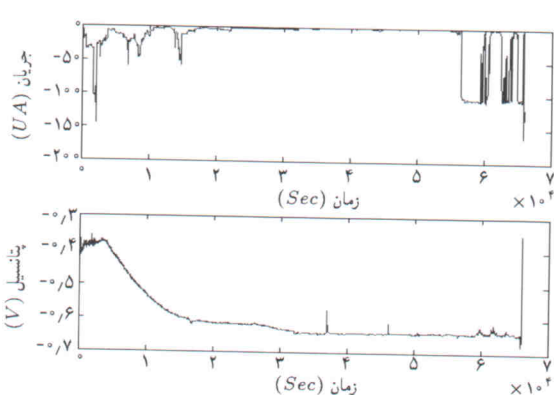
سریع در محدوده‌ی فرکانسی نیز بررسی شده‌اند؛ شاید بتوان روش قابل استفاده‌ی به منظور پیش‌بینی شکست ناشی از SCC ارائه کرد.

۳. نتایج و بحث

۱.۳. فولاد زنگ نزن ۳۰۴ حساس شده به مدت شش ساعت در محلول اسیدی و داغ کلراید منیزیم ۲۵٪ نوسان‌های جریان و پتانسیل ناشی از پدیده‌ی SCC فولاد زنگ نزن ۳۰۴ در محلول اسیدی و داغ کلراید منیزیم ۲۵٪ در شکل ۲ نشان داده شده است. نمونه‌های فولادی ابتدا در دمای 105°C در محیط گاز آرگون و به مدت ۳۰ دقیقه تحت عملیات حرارتی قرار گرفته و در آب سرد شده‌اند و سپس به مدت ۶ ساعت در دمای 65°C حساس شده‌اند. قبل از شروع آزمایش‌ها، نمونه‌ها به وسیله‌ی کاغذهای کاربید سیلیکون با درجه‌ی 600° پولیش شده، با آب مقطر شست و شو داده شده و سپس با استون چربی زدایی شده‌اند.

محلول مورد استفاده در آزمایش SCC فولاد زنگ نزن عبارت است از محلول اسیدی شده‌ی ۲۵٪ کلراید منیزیم، که براساس استاندارد ASTM G۳۶-۳۷ تهیه شده است. نمونه‌های برنجی نیز در محلول ماتسون که براساس استاندارد ASTM G۳۷-۴۹ ساخته شده است، مورد آزمایش قرار گرفته‌اند. همچنین نمونه‌ها تحت بار ثابت (نمونه‌ی فولاد زنگ نزن تحت بار 300 مگاپاسکال و نمونه‌ی برنجی تحت بار 200 مگاپاسکال) مورد آزمایش قرار گرفته‌اند. به منظور تسریع در پدیده‌ی SCC، آزمایش‌ها در دمای نزدیک به دمای جوش محلول‌ها انجام شده است.

نوسان الکتروشیمیایی جریان با استفاده از یک جریان‌سنج با مقاومت بسیار کم^۵، بین یک الکترود کاری تحت تنش و یک الکترود کمکی بدون تنش و از جنس نمونه‌ی کاری اندازه‌گیری شده است. همچنین نوسان الکتروشیمیایی پتانسیل نیز به طور همزمان با نوسان جریان و توسط یک ولت‌متر با مقاومت داخلی بالا، بین الکترود کاری



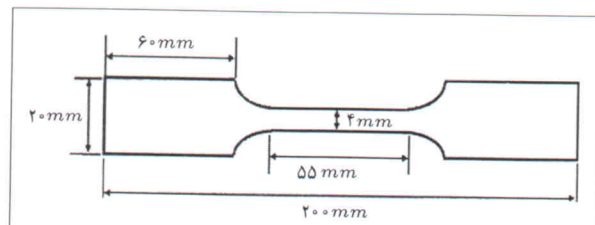
شکل ۲. نوسان‌های جریان و پتانسیل ناشی از پدیده‌ی SCC فولاد زنگ نزن ۳۰۴ در محلول اسیدی و داغ کلراید منیزیم ۲۵٪.

۲. آزمایشات

مواد مورد استفاده در این آزمایش عبارت‌اند از: آلیاژ برنج و فولاد زنگ نزن ۳۰۴، که ترکیب شیمیایی اسمی این آلیاژها در جدول ۱ نشان داده شده است. ابعاد نمونه‌های مورد آزمایش نیز در شکل ۱ نشان داده شده است. نمونه‌های فولادی ابتدا در دمای 105°C در محیط گاز آرگون و به مدت ۳۰ دقیقه تحت عملیات حرارتی قرار گرفته و در آب سرد شده‌اند و سپس به مدت ۶ ساعت در دمای 65°C حساس شده‌اند. قبل از شروع آزمایش‌ها، نمونه‌ها به وسیله‌ی کاغذهای کاربید سیلیکون با درجه‌ی 600° پولیش شده، با آب مقطر شست و شو داده شده و سپس با استون چربی زدایی شده‌اند.

محلول مورد استفاده در آزمایش SCC فولاد زنگ نزن عبارت است از محلول اسیدی شده‌ی ۲۵٪ کلراید منیزیم، که براساس استاندارد ASTM G۳۶-۳۷ تهیه شده است. نمونه‌های برنجی نیز در محلول ماتسون که براساس استاندارد ASTM G۳۷-۴۹ ساخته شده است، مورد آزمایش قرار گرفته‌اند. همچنین نمونه‌ها تحت بار ثابت (نمونه‌ی فولاد زنگ نزن تحت بار 300 مگاپاسکال و نمونه‌ی برنجی تحت بار 200 مگاپاسکال) مورد آزمایش قرار گرفته‌اند. به منظور تسریع در پدیده‌ی SCC، آزمایش‌ها در دمای نزدیک به دمای جوش محلول‌ها انجام شده است.

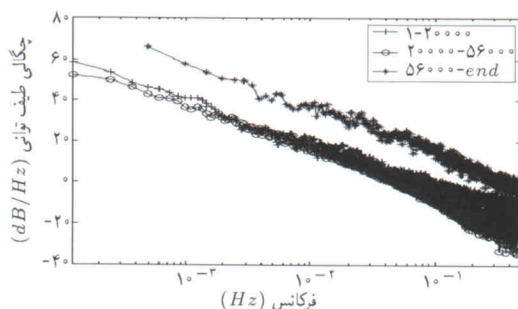
شکل ۱. ابعاد نمونه‌های مورد آزمایش.



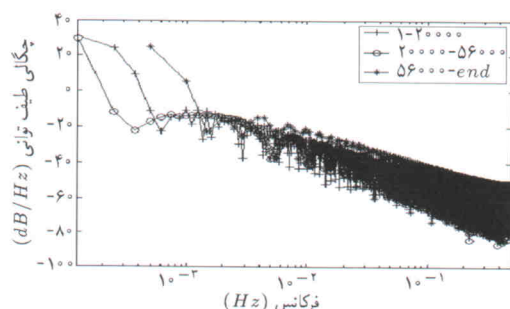
می‌شوند به سه دسته تقسیم می‌کنیم که نمودارهای چگالی طیف توانی^۶ (نمودار PSD) مربوط به جریان در این بازه‌های زمانی در شکل ۴ نشان داده است.

نمودار PSD مربوط به بازه‌ی زمانی اول بالاتر از نمودار بازه‌ی زمانی دوم قرار گرفته است که با مشاهدات مربوط به شکل ۲ مطابقت دارد؛ زیرا همان‌طور که در این شکل نشان داده شده نوسان‌های بازه‌ی زمانی دوم نسبت به بازه‌ی زمانی اول کمتر بوده و دامنه‌ی کمتری نیز دارند. نمودار مربوط به بازه‌ی زمانی سوم که مربوط به نوسان‌های از رشد نهایی ترک و انهدام نمونه است، کاملاً بالاتر از دو نمودار دیگر قرار گرفته، در حالی که نمودارهای مربوط به دو بازه‌ی زمانی اول و دوم در فرکانس‌های بالاتر همپوشانی دارند.

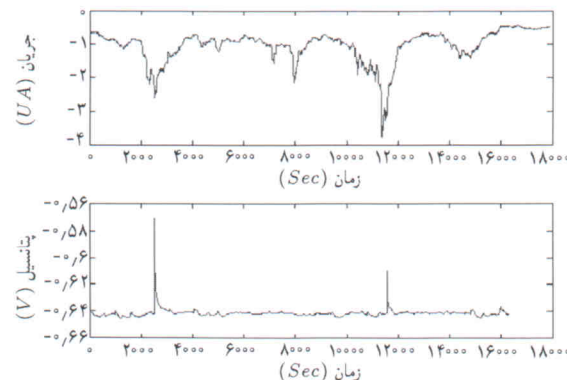
در شکل ۵ نمودارهای PSD مربوط به نوسان‌های پتانسیل در سه بازه‌ی زمانی بالا ترسیم شده است که در اینجا نیز تشخیص مرحله‌ی رشد ترک از سایر مراحل امکان‌پذیر است. ترتیب قرار گرفتن نمودارها همانند شکل ۴ است و نمودارهای هر سه بازه در فرکانس‌های بالا همپوشانی دارند. دلیل آن است که همان‌طور که در شکل ۲ دیده می‌شود، نوسان‌های پتانسیل در بازه‌های زمانی مختلف حساسیت کمتری نسبت به جریان دارند و بنابراین دامنه‌ی تغییرات پتانسیل نیز نسبت به جریان کمتر است. در این شکل نیز نمودار مربوط به رشد نهایی ترک و انهدام نمونه در بالاترین سطح قرار گرفته است.



شکل ۴. نمودارهای PSD مربوط به جریان برای نمونه‌ی فولاد زنگ نزن ۳۰۴.



شکل ۵. نمودارهای PSD مربوط به پتانسیل برای نمونه‌ی فولاد زنگ نزن ۳۰۴.

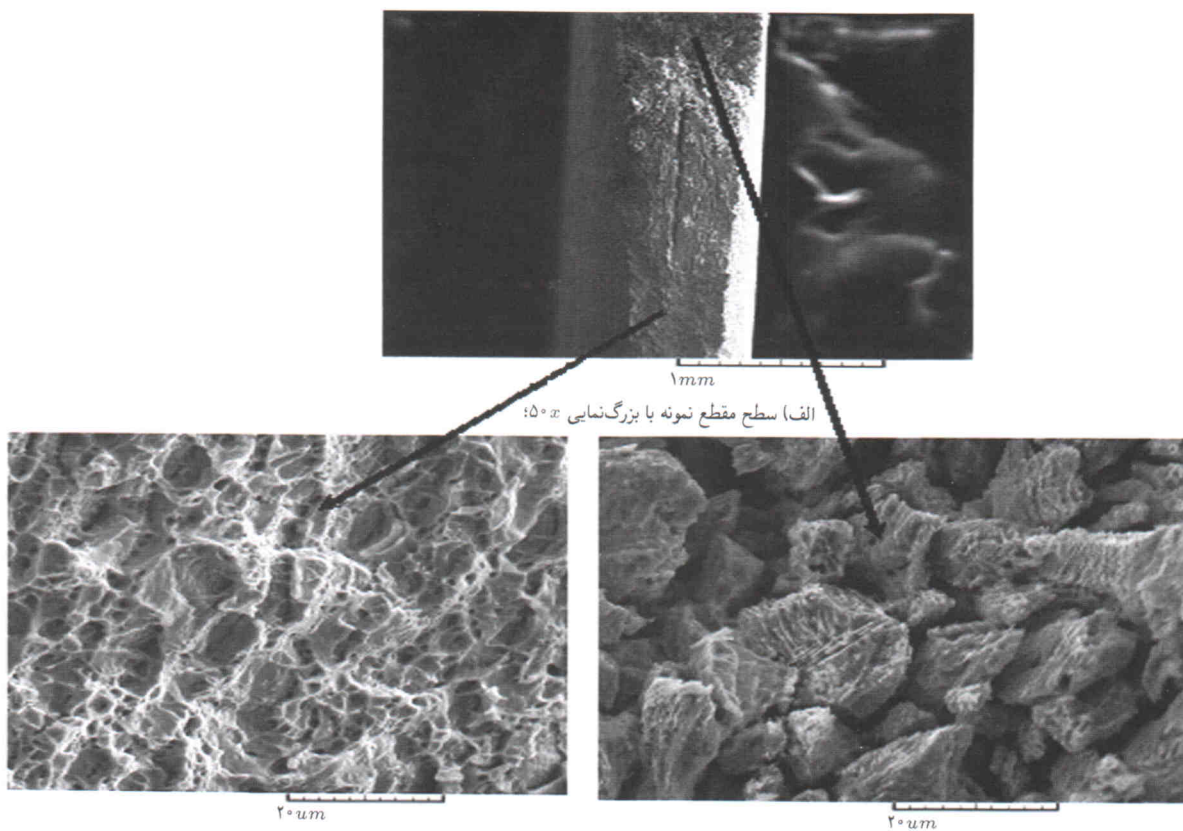


شکل ۳. نمودار مشخصه‌ی جریان و پتانسیل ناشی از ایجاد ترک در نمونه‌ی فولاد زنگ نزن ۳۰۴ در محلول اسیدی و داغ کلراید منزیم٪ ۲۵.

محققین^[۹]، مشخصه‌ی ایجاد ترک در نمونه هستند. هم‌زمان با این تغییرات پتانسیل، نوسان‌های مشابهی نیز در جریان مشاهده می‌شود که به صورت کاهش و افزایش آهسته‌ی جریان می‌تواند ناشی از ایجاد ترک باشد.

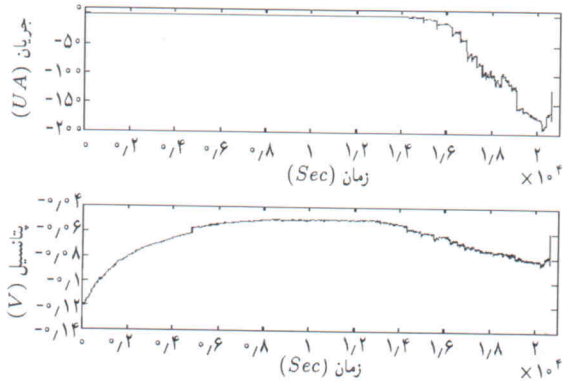
از ثانیه‌ی ۰۵۶/۰۰۰ام به بعد نوسان‌های شدید در جریان و پتانسیل ثبت شده است. همان‌طور که در شکل ۲ مشاهده می‌شود این نوسان‌ها به صورت موج‌های چهارگوشی هستند که تا انهدام نهایی نمونه ادامه پیدا می‌کنند و از آنجاکه پس از مشاهده‌ی این نوسان‌ها نمونه دچار شکست شد، ممکن است این نوسان‌ها با رشد مرحله‌ی ترک در نمونه مرتبط باشند، به این ترتیب که ابتدا ترک اصلی رشد می‌کند و سطح آزادی از فلز در معرض محلول خورنده قرار می‌گیرد. بنابراین جریان خوردگی به شدت به سمت مقادیر منفی تمایل پیدا کرده و با گذشت مدت زمانی این سطح آزاد فلز که در معرض محلول خورنده قرار گرفته، غیرفعال می‌شود و دوباره جریان به سمت مقادیر نزدیک به صفر می‌پیدا می‌کند. این روند به طور فزاینده‌ی پیش می‌رود تا آن‌جاکه سطح مقطع نمونه به اندازه‌ی کوچک می‌شود که میزان تنش اعمالی بیشتر از حداستحکام نهایی نمونه می‌شود و در نهایت نمونه می‌شکند. نوسان‌های پتانسیل مربوط به رشد نهایی ترک با نوسان‌های جریان متناسب نیست و الگوی مشخصی ندارد، و فقط نوسان‌های شدید پتانسیل قبل از شکست نهایی مشاهده می‌شود. در هنگام شکست پیک ناشی از شکست ظاهر می‌شود که نسبت به پیک‌های دیگر بزرگ‌تر بوده و در شکل ۲ منعکس شده است. بنابراین تغییرات جریان و پتانسیل قبل از شکست نهایی، یا به عبارت دیگر مرحله‌ی رشد ترک، کاملاً با مرحل دیگر متفاوت است و می‌تواند به عنوان معیار پیش‌بینی شکست به کار رود.

داده‌های به دست آمده در محدوده‌ی زمانی به وسیله‌ی تابع تبدیل فوریه‌ی سریع، در محدوده‌ی فرکانسی نیز مورد بررسی قرار گرفته‌اند. بدین منظور بازه‌ی زمانی را با توجه به شکل نوسان‌هایی که مشاهده



شکل ۶. تصاویر میکروسکوپی الکترونی روبشی از سطح شکست نمونه‌ی فولاد زنگ نزن 304 در محلول اسیدی و داغ کلراید متیزیم 25% .

شکل ۶. تصاویر میکروسکوپی الکترونی روبشی از سطح شکست نمونه‌ی فولاد زنگ نزن ۳۰۴ در محلول اسیدی و داغ کلراید منیزیم٪.



شکل ۷. نوسان های جریان و پتانسیل برنج (۳۰-۷۰) ناشی از پدیده SCC تحت بار ثابت Mpa ۱۸۰ در محلول.

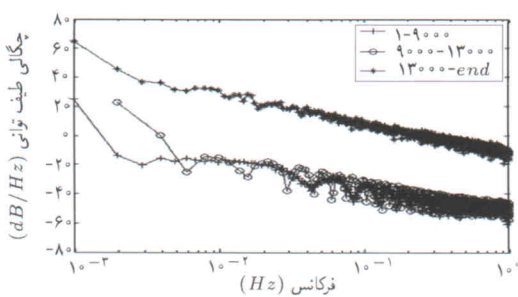
یافته و به مقدار کم بازیابی می شود؛ در نهایت پیک مربوط به شکست نمونه مشاهده می شود. پتانسیل نیز به مرور زمان مثبت تر می شود تا این که در ثانیه‌ی ۱۹٪۰۰۰ ام به مقدار ثابتی می رسد و بعد ثانیه‌ی ۱۳٪۰۰۰ ام همانند جریان به صورت پله‌ی کاهش می یابد و به سمت مقادیر منفی تر می‌گذرد.

شکل ۸ نوسان‌های مریبوط به جریان و پتانسیل را از ثانیه‌ی

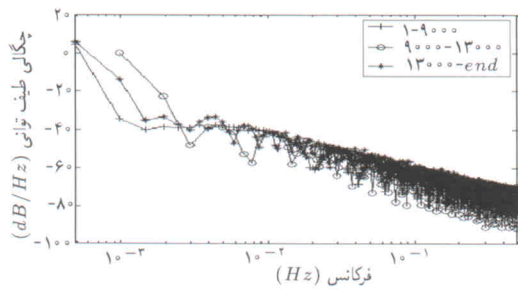
تصویر میکروسکوپ الکترونی مربوط به سطح شکست این نمونه‌ی فولادی در شکل ۶ آورده شده است. سطح شکست نیز نشان دهنده‌ی شکست دو مرحله‌ی نمونه است (شکل ۶الف). در مرحله‌ی اول (شکل ۶ب) رشد اولیه‌ی ترک در اثر خوردگی مرزدانه‌ی بوده که باعث جدایش دانه‌ها شده، و در مرحله‌ی دوم که تنش اعمالی بر روی سطح مقطع نمونه به بیش از حد استحکام آن می‌رسد، شکست نمونه به صورت ترد و ناگهانی اتفاق افتاده است که شکل دیمپلی آن به‌وضوح مشاهده می‌شود (شکل ۶ج). چنان که مشاهده می‌شود، نتایج شکست‌نگاری با نوسان‌های پتانسیل و جریان متناسب است. این تصاویر حاکی از سازوکار دو مرحله‌ی، یا چند مرحله‌ی شکست فولادهای آستنی است.

۲.۳. بررسی نوسان نمونه‌ی برق (۷۰-۳۰) در محلول ماتسون
نوسان‌های جریان و پتانسیل برق (۷۰-۳۰) ناشی از پذیده‌ی SCC
تحت بار ثابت (۱۸۰ Mpa) در محلول ماتسون در شکل ۷ نشان داده
شده است.

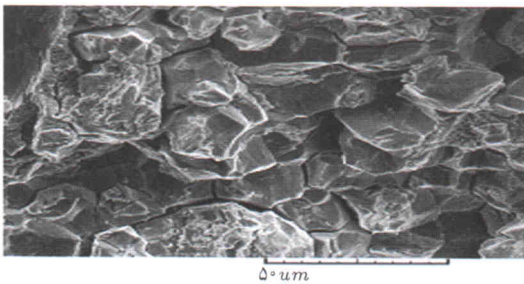
تا ۱۳,۰۰۰ ثانیه اولیه نوسان‌های خاصی در جریان مشاهده نمی‌شود. پس از آن دیده می‌شود که جریان به صورت پله‌بی کاهش



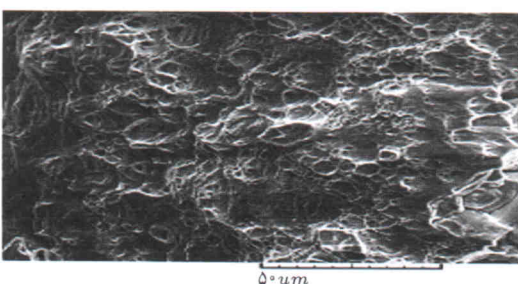
شکل ۹. نمودارهای PSD مربوط به جریان برای برعج ۷۰-۳۰.



شکل ۱۰. نمودارهای PSD مربوط به پتانسیل برعج ۷۰-۳۰.



الف) تصویر خوردگی مرزدانه‌ی با بزرگنمایی ۱۰۰۰ در اوایل رشد ترک:

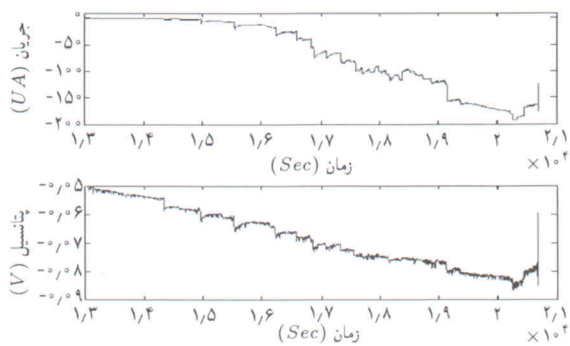


ب) تصویر شکست ترد با بزرگنمایی ۱۰۰۰ از سطح مقطع نمونه در رشد نهایی شکست.

شکل ۱۱. تصاویر میکروسکوپ الکترونی رویشی مربوط به نمونه‌ی برعج ۷۰-۳۰ ناشی از پدیده‌ی SCC تحت بار ثابت ۱۸۰ Mpa.

دوم شکست ترد بدلیل افزایش تنش موضعی براثر کاهش سطح مقطع رخ داده است.

این تصاویر نشان‌دهنده‌ی این حقیقت است که نقش خوردگی در ایجاد ترک‌های اولیه و تولید مواضع تنش زا و توسعه‌ی SCC بسیار



شکل ۱۲. نوسان‌های جریان و پتانسیل برعج ۷۰-۳۰ ناشی از پدیده‌ی SCC تحت بار ثابت ۱۸۰ Mpa در محلول ماتسون.

۱۳۰۰۰ام به بعد نشان می‌دهد. در این شکل تغییرات پله‌ی جریان و پتانسیل با بزرگنمایی بالاتر مشاهده می‌شود که به طور قابل توجهی همزمان با یکدیگر اتفاق می‌افتد. با توجه به نوسان‌های جریان در نمونه‌ی برعجی مشاهده می‌شود که در این نمونه جریان همانند فولاد زنگ نزن ۳۰۴ قادر به بازیابی کامل نیست و این احتمالاً نشان‌دهنده‌ی آن است که رشد ترک در نمونه‌ی برعجی سریعتر از نمونه‌ی فولادی است، چرا که قبل از آن که سطح جدیدی از برعج که در اثر رشد ترک در معرض محلول خورنده قرار گرفته است به وسیله‌ی محصول خوردگی اکسید مس سیاهرنگ کاملاً غیرفعال شود، مرحله‌ی دیگر از رشد ترک آغاز می‌شود. در این نمونه نیز تغییر وضعیت^۷ در جریان و پتانسیل و تغییرات ناگهانی آنها کاملاً با ایجاد رشد ترک متناسب است.

همانند نمونه‌ی فولادی، نوسان‌های جریان و پتانسیل در نمونه‌ی برعجی را از بازه‌ی زمانی، توسط تابع تبدیل فوریه‌ی سریع، تبدیل به بازه‌ی فرکانسی کرده و آن را مورد بررسی قرار داده‌ایم. در شکل ۹ نمودارهای PSD مربوط به جریان در سه بازی زمانی مختلف که براساس شکل نوسان‌های مشاهده شده در جریان و پتانسیل انتخاب شده‌اند، نشان داده شده است. چنان‌که در این شکل مشاهده می‌شود نمودار مربوط به رشد ترک و انهدام نهایی نمونه‌ی برعجی کاملاً بالاتر از دو نمودار دیگر قرار گرفته و نمودارهای مربوط به بازه‌های اول و دوم در فرکانس‌های بالاتر با هم هم‌بیشانی دارند. نمودار مربوط به بازه‌ی زمانی دوم نیز در فرکانس‌های پایین بالاتر از نمودار اول قرار گرفته است. نمودارهای PSD مربوط به پتانسیل نیز در شکل ۱۰ نشان داده شده است. نمودار مربوط به رشد ترک و انهدام نمونه در فرکانس‌های پایین، نسبت به بازه‌ی زمانی دوم در سطح پایین‌تری قرار گرفته است.

شکل ۱۱ تصاویر میکروسکوپ الکترونی مربوط به سطح مقطع شکست نمونه‌ی برعجی را نشان می‌دهد. این نمونه نیز همانند نمونه‌ی فولادی، با خوردگی مرزدانه‌ی منهدم شده است، و شکست در آن دارای دو مرحله است که در مرحله‌ی اول جدایش دانه‌ها و در مرحله‌ی

از جدایش دانه‌ها در اثر خوردگی مرزدانه‌بی باشد و بازیابی آرام حاکی از غیرفعال شدن دوباره‌ی ناحیه‌ی نوک ترک و توقف موقت رشد آن باشد. رشد ترک با نوسان‌های شدیدتر و ناگهانی جریان و پتانسیل همراه است که بازیابی نمی‌شود و نشان‌دهنده‌ی فقدان غیرفعال شدن در این مرحله است.

- در نمونه‌های برجی نوسان‌های حاصل از ایجاد و رشد ترک مشابه‌اند و به صورت کاهش پله‌بی همزمان در جریان و پتانسیل مشاهده می‌شود که این ممکن است ناشی از سازوکار متفاوت خوردگی و شکست در این دو نمونه باشد.
- سازوکار ذکر شده‌ی فوق در نمودارهای PSD رسم شده در بازه‌های زمانی مختلف نیز قابل مشاهده است که نمودار مربوط به رشد ترک و مرحله‌ی شکست نهایی به دلیل دارا بودن دامنه‌ی بالای نوسانی در بالاترین مقدار قرار می‌گیرد و این نمودار کمک مؤثری به بررسی داده‌های نوسان‌های الکتروشیمیایی می‌کند.

حساس است. چنانچه خوردگی مرزدانه‌بی اتفاق نمی‌افتد، تنش اعمالی قادر به شکست نمونه نبود؛ به عبارت دیگر سازوکار پیشنهادی برخی از محققین که صرفاً مبتنی بر مکانیک شکست است، برای SCC قابل قبول نیست. به عکس سازوکار پیشنهادی حلالیت نوک ترک و به دنبال آن جدایش قابل قبول تر خواهد بود.

۴. نتیجه‌گیری

- با بررسی نتایج حاصله از تغییرات و نوسان‌های جریان و پتانسیل در آزمایش SCC فولاد زنگ نزن ۴۰-۳۰ و برج ۷۰-۳۰ می‌توان اذعان کرد که نوسانات الکتروشیمیایی می‌تواند به عنوان ابزاری برای تعیین شروع ترک خوردن و رشد ترک در نمونه‌های فلزی مورد استفاده قرار گیرد.
- ایجاد ترک در نمونه‌ی فولاد زنگ نزن با تغییرات ناگهانی جریان و پتانسیل و بازیابی آرام این تغییرات همراه است که ممکن است ناشی

پانوشت

1. electrochemical noise
2. stress corrosion cracking
3. loto
4. cottis
5. zero resistant ammeter
6. power spectral density
7. transient

منابع

1. Haruna, Takumi; Morikawa, Yasuyuki; Fujimoto, Shinji; Shibata, Toshio. Electrochemical Noise Analysis for Estimation of Corrosion Rate of Carbon Steel in Bicarbonate Solution. *Corrosion Science*, **45**, pp. 2093-2104 (2003).
2. Smulko, J.; Darowicki, K. Nonlinearity of Electrochemical Noise Caused by Pitting Corrosion, *Journal of Electroanalytical Chemistry*, **545**, pp. 59-63 (2003).
3. Cottis, R.A. Al-Awadhi, M.A.A. Al-Mazeedi, H. Turgoose. S. Measures for the Detection of Localized Corrosion With Electrochemical Noise. *Electrochimica Acta*, **46**, pp. 3665-3674 (2001).
4. Cheng, Y.F.; Wilmott, M. Luo. J.L. The Role of Chloride Ions in Pitting of Carbon Steel Studied by the Statistical Analysis of Electrochemical Noise. *Applied Surface Science*, **152**, pp. 161-168 (1999).
5. Roberge, P.R. Wang, S. and Roberge, R. Stainless Steel Pitting in Thiosulfate Solutions with Electrochemical Noise. *Corrosion*, **52**(10) (1996).

6. Leinenbach, Christian; Fleck, Claudia. Ei.er, Dietmar, The Cyclic Deformation Behavior and Fatigue Induced Damage of the Implant Alloy TiAl6Nb7 in Simulated Physiological Media. *International Journal of Fatigue*, **26**, pp. 857-864 (2004).
7. Nagiub, A. Mansfeld, F. Evaluation of Microbiology Influenced Corrosion Inhibition Using Electrochemical Noise Analysis. *Corrosion Science*, **43**, pp. 2001-2009 (2001).
8. Leban, M. Bajt, A. Legat. Detection and Differentiation Between Cracking Processes Based on Electrochemical and Mechanical Measurements. *Electrochimica Acta*, **49**, pp. 2795-2801 (2004).
9. Aballe, A. Newman, R.C. and Cottis, R.A. Corrosion Electrochemical Noise Study of Stress Corrosion Cracking of Sensitized 304 H in Thiosulfate. Protection Center, UMIST.P.O.Box88, Sackville Street, Manchester M60 1QD (2003).
10. Loto, C.A. Cottis, R.A. Electrochemical Noise Generation During Stress Corrosion Cracking of Alpha-Brass, *Corrosion*, **43**, p. 499 (1987).
11. Loto, C.A. Cottis, R.A. Electrochemical Noise Generation During Stress Corrosion Cracking of High-Strength Aluminium AA7075-T6 Alloy, *Corrosion*, **45**, P. 136 (1989).
12. Loto, C.A. Cottis, R.A. Electrochemical Noise Generation During Stress Corrosion Cracking of High-Strength Carbon Steel, *Corrosion*, **46**, P. 12 (1990).